# Multiple-Depot Vehicle Scheduling Problem

Cristian Adam, Alexandru-Denis Chipăruș Al. I. Cuza University of Iași November 2021

#### I. DESCRIEREA PROBLEMEI

Multiple-Depot Vehicle Scheduling Problem (MDVSP) este o bine cunoscută și importantă problemă de optimizare. Aceasta constă în atribuirea unui set de călătorii unui set de vehicule, care se află în mai multe depouri, pentru a minimiza un anumit cost total.

Problema se poate defini astfel: există un număr m de depouri și un număr n de noduri de tip trip (călătorii), iar pentru fiecare depou, există un număr maxim de vehicule care pot fi stocate, numit capacitate a depoului. Se dorește atribuirea unui vehicul fiecărui nod de tip trip, astfel încât:

- 1) fiecare trip să fie atribuit unui singur vehicul;
- fiecare vehicul din soluție, să parcurgă un drum fezabil format din noduri trip (perechile consecutive de noduri să fie fezabile);
- 3) fiecare vehicul care parcurge un drum, să îl termine în același depou din care a plecat;
- 4) numărul de vehicule utilizate în fiecare depou să nu depășească capacitatea de stocare a depoului;
- 5) suma costurilor asociate arcelor utilizate în fiecare drum parcurs de vehiculele alese să fie minim.

Considerând graful problemei G=(V,A), unde V este mulțimea nodurilor, iar A mulțimea arcelor fezabile, și mulțimile W, mulțimea nodurilor de tip depou, și N, mulțimea nodurilor de tip trip,  $(W \cup N = V)$  atunci MDVSP poate fi formulată ca o problemă de programare cu numere întregi (MIP):

$$MDVSP: min \sum_{i \in V} \sum_{j \in V} c_{ij} x_{ij}$$

$$\sum_{i \in V} x_{ij} = r_j, \quad j \in V \tag{1}$$

$$\sum_{j \in V} x_{ij} = r_i, \quad i \in V \tag{2}$$

$$\sum_{(i,j)\in P} x_{ij} \leq |P| - 1, \quad P \in \Pi$$
(3)

$$x_{ij} \in \{0,1\}, \quad i,j \in V,$$
 (4)

unde  $r_i = 1$  pentru  $i \in N$  (și 0 în rest),  $\Pi$  reprezintă mulțimea tuturor drumurilor dintre două depouri, iar  $c_{ij}$  reprezintă elementele matricii costurilor arcelor fezabile.

# II. METODE CUNOSCUTE DIN LITERATURĂ

Când numărul de depouri este mai mare sau egal cu 2, MDVSP devine o problemă NP-hard [3]. Din acest motiv, au fost propuse mai multe abordări pentru această problemă printre care se numără meta-euristici precum Neighborhood Search și Tabu Search [6], Iterated Local Search [5] și abordări de programare liniară pe valori întregi (ILP) fiind cele mai frecvent utilizate metode.

#### III. METODE UTILIZATE

# A. Ant Colony Optimization

Ant Colony Optimization (ACO) este o metaeuristică bazată pe populație care poate fi utilizată pentru a găsi soluții aproximative la probleme dificile de optimizare. Propus inițial de Marco Dorigo în 1992 în teza sa de doctorat, primul algoritm ACO urmărea căutarea unui drum optim într-un graf, fiind bazată pe comportamentul furnicilor care caută cel mai scurt drum între colonia lor și o sursă de hrană. Ideea de optimizare care stă la baza algoritmului este reprezentată de urmele de feromoni, substanță utilizată de furnici pentru a comunica și a se deplasa în mediul lor de viață. Dacă o furnică găsește un drum eficient către o sursă de hrană, atunci acea furnică se va deplasa mai des pe acel drum, lăsând în urma sa o concentrație mai mare de feromoni. Astfel, ea va indica și celorlalte furnici calea către o sursă bună de hrană, în funcție de concentrația de feromoni de pe fiecare drum.

1

În ACO, un set de agenți software numiți furnici caută soluții bune pentru o anumită problemă de optimizare. Pentru a aplica ACO, problema de optimizare este transformată în problema găsirii drumului de cost minim într-un graf. Furnicile construiesc soluții progresiv, deplasându-se pe grafic. Procesul de construire a soluției este stocastic și este bazat pe un set de parametri asociați cu componentele graficului (fie noduri, fie muchii), numite feromoni, ale căror valori sunt modificate de furnici în timpul rulării algoritmului.

Pentru rezolvarea problemei MDVSP am ales să experimentăm două abordări inspirate din algoritmul Ant Colony System (ACS): ACS aplicat pe o partiție a grafului în funcție de depouri și ACS aplicat pe întregul graf al problemei.

- 1) ACS aplicat pe o partiție a grafului problemei: Prima abordare din acest proiect implică partiționarea grafului problemei astfel încât fiecărui depou să-i corespundă un subgraf. Această partiționare se realizează astfel:
  - 1) pentru fiecare nod de tip trip se calculează gradul nodului (gradul interior + gradul exterior)
  - 2) se sortează descrescător lista acestor noduri în funcție de grad
  - 3) se repartizează apoi, în ordine, câte un nod trip pentru fiecare depou până toate nodurile trip sunt asociate unui subgraf

Acest mod de a partiționa graful ne asigură un oarecare echilibru între subgrafurile rezultate din punctul de vedere al numărului de noduri și al gradului nodurilor incluse. Ideea partiționării grafului poate fi observată și la rezolvarea problemei MDVRP (Multiple-Depot Vehicle Routing Problem) în [1], unde se repartizează nodurile trip în funcție de cel mai apropiat depou.

Prin partiționarea grafului, MDVSP se reduce la rezolvarea mai multor VSP, câte una pentru fiecare subgraf rezultat. Pentru rezolvarea acestor VSP, utilizăm un algoritm ACS, în cadrul căruia fiecare furnică alege următorul nod folosind formulele următoare:

$$next\_node(i) = \left\{ \begin{array}{c} \mathop{\arg\max}\limits_{(ij) \in M_k} \left\{ \tau_{ij}^{\alpha} \cdot \eta_{ij}^{\beta} \right\}, \; dac\Bar{a} \; q \leq q_0 \\ \\ choose\_neighbour(\left\{ p_{ij}^k, j \in neighbourhood(i) \right\}) \;, \; \hat{n} \; caz \; contrar \end{array} \right. ,$$

$$p_{ij}^{k} = \begin{cases} \frac{\tau_{ij}^{\alpha} \cdot \eta_{ij}^{\beta}}{\displaystyle\sum_{(im) \in M_{k}} (\tau_{im}^{\alpha} \cdot \eta_{im}^{\beta})} , \ dac\ \ (ij) \in M_{k} \\ 0 , \ \hat{n} \ caz \ contrar \end{cases},$$

unde  $\tau_{ij}$  este cantitatea de feromoni de pe arcul (ij),  $\eta_{ij}$  reprezintă informația euristică (în cazul nostru, egală cu inversul costului arcului (ij)),  $M_k$  reprezintă mulțimea nodurilor nevizitate încă de furnica k până la iterația curentă,  $choose\_neighbour(p)$  este o funcție care alege vecinii în funcție de probabilitățile descrise de p, q este un număr generat aleatoriu, iar  $q_0$ ,  $\alpha$  și  $\beta$  sunt parametri dați de utilizator.

Matricea feromonilor se actualizează în două moduri: local, la finalul pașilor constructivi ai fiecărei furnici (după construirea soluției furnicii), și global, la finalul fiecărei iterații ale algoritmului (după terminarea pașilor constructivi ai tuturor furnicilor din colonie).

Actualizarea locală a matricii feromonilor se realizează după formula:

$$\tau_{ij} = (1 - \phi) \cdot \tau_{ij} + \phi \cdot \tau_0,$$

unde  $\phi$  este factorul de scădere a feromonilor, iar  $\tau_0$  reprezintă valoarea inițială a feromonilor (de la începutul algoritmului). Actualizarea globală a matricii feromonilor se realizează pe baza formulei:

$$\tau_{ij} = (1 - \rho) \cdot \tau_{ij} + \rho \cdot \Delta \tau_{ij}^{best},$$

unde  $\rho$  reprezintă factorul de evaporare iar  $\Delta \tau_{ij}^{best}$  reprezintă cantitatea de feromoni depusă de cea mai bună furnică de la iteratia curentă. Această cantitate de feromoni este data de:

$$\Delta \tau_{ij}^{best} = \begin{cases} \frac{1}{L_{best}} \;,\; dac \ a \; furnica \; trece \; prin \; arcul \; ij \\ \\ 0 \;,\; \hat{\mathbf{i}}n \; caz \; contrar \end{cases} \;,$$

unde  $L_{best}$  reprezintă costul drumului construit de cea mai bună furnică.

Pentru a putea crea mai multe circuite în fiecare subgraf, o furnică are, la fiecare pas constructiv, nodul depou (cel de la care au plecat) în mulțimea vecinilor nevizitați. Astfel, de fiecare dată când furnica se întoarce în depou, se va considera finalul unui circuit care implică utilizarea unui vehicul.

Însă, cum nicio furnică nu este restricționată cu privire la numărul de vizite pe care le poate face în depou, după construirea întregii soluții pentru subgraful curent, numărul de vehicule utilizate poate depăși capacitatea maximă de stocare a depoului. Pentru a evita construirea unor astfel de soluții, de fiecare dată când o furnică construiește o soluție nefezabilă din punctul de vedere al capacității depoului, se reiterează pasii de constructie pentru a obtine o altă soluție.

Pe lângă această reiterare, pentru a reduce totuși numărul de mașini utilizate, după obținerea fiecărei soluții (fezabile sau nefezabile) se aplică o euristică de reducere a numărului de vehicule utilizate. Această euristică implică căutarea de noduri fezabil adiacente care au, în soluția obținută, arc direct cu depoul. Dacă un nod care intra în depou este adiacent (conform matricii costurilor din problemă) cu un nod care iese din depou, atunci se elimină din soluție arcele acestora către și dinspre depou și se adaugă arc de la nodul care intra în depou către nodul care ieșea din depou. Așadar, dacă există astfel de perechi de noduri fezabil adiacente, atunci aplicarea euristicii descrise va reduce numărul de vehicule utilizate cu o unitate pentru fiecare pereche de noduri găsită și are potențialul de a repara unele soluții nefezabile obținute la finalul pașilor constructivi ai unei furnici.

Pentru a obține o soluție integrală la problema MDVSP, pentru fiecare subgraf obținut din partiționare, se executa câte o iterație a unei colonii (ACS) iar apoi se asamblează cele mai bune soluții parțiale obținute de fiecare colonie la iterația curentă.

- 2) ACS aplicat pe întregul graf al problemei: Algoritmul descris anterior, poate fi modificat și aplicat pe întregul graf, fără a se mai partiționa, astfel:
  - 1) Inițial, se alege un depou start, folosind probabilități proporționale cu numărul de vehicule disponibile în fiecare depou;
  - Se construiește un circuit cu ajutorul unei furnici, ignorând la fiecare pas nodurile vecine de tip depou care sunt diferite de depoul inițial;
  - 3) Odată întoarsă în depoul de start, se elimină un vehicul din cele disponibile din acest depou și se generează un număr aleatoriu  $t_k$ .
  - 4) Dacă  $t_k \leq T$ , unde T este un parametru dat de utilizator, atunci se alege un nou depou, în aceeași manieră (deci există o probabilitate să fie ales același depou), în caz contrar, se continuă cu același depou;
  - 5) În cazul în care, la selecția unui nou depou, s-a depășit numărul de vehicule disponibile din fiecare depou, atunci se alege depoul cu numărul cel mai mic de vehicule peste capacitatea sa maxima;
  - 6) Pasii anteriori se iterează, până când se obtine o solutie completă;
  - Pe soluția obținută, se aplică euristica de reducere a numărului de vehicule utilizate (descrisă în abordarea anterioară) pe fiecare depou.

Dacă algoritmul descris mai sus nu oferă o soluție fezabilă, atunci acesta este executat din nou, până când soluția obținută este fezabilă.

# B. Particle Swarm Optimization

PSO a fost propus pentru prima oară de Kennedy și Eberhart [7] în 1995. În procedura PSO, soluțiile sunt modelate ca un roi de particule împrăștiate în spațiul de soluție. Locația fiecărei particule reprezintă o soluție candidată la problemă. La fiecare nouă iterație a metodei, particulele se deplasează cu o anumită viteză într-o nouă regiune a spațiului de soluții pentru a căuta soluții noi și îmbunătățite. În efectuarea mișcării particulelor, trei vectori sunt folosiți ca referință, și anume, vectorul de viteză (velocity) al particulei, cea mai bună locație pe care a reușit particula să o viziteze până acum (adică soluția optimă individuală), și cea mai bună locație vizitată de oricare dintre particulele din roi până în prezent (adică soluția optimă globală). Să presupunem că n particule sunt împrăștiate într-un spațiu de soluții de dimensiune L. Roiul de particule poate fi astfel reprezentat ca  $X_i = \{X_1, X_2, ..., X_n\}$  unde locația fiecărei particule este dată de  $X_{ij} = \{X_{i1}, X_{i2}, ..., X_{iL}\}$ ,  $X_{ij}$  referindu-se la a j-a componentă de locație a particulei i. În plus, vectorul viteză al fiecărei particule este reprezentat de  $V_{ij} = \{V_{i1}, V_{i2}, ..., V_{iL}\}$ , soluția locală a particulei este  $p_{ij} = \{p_{i1}, p_{i2}, ..., p_{iL}\}$  și soluția globală a roiului este  $g = \{g_1, g_2, ..., g_L\}$ . Procesul de găsire a soluției în PSO este formulat astfel:

$$v_{ij}^{new} = v_{ij} * w + c_1 * r_1 * (p_{ij} - x_{ij}) + c_2 * r_2 * (g_j - x_{ij})$$
$$x_{ij}^{new} = x_{ij} + v_{ij}^{new}$$

unde,  $v^{new}$  se referă la viteza actualizată a particulei și  $x^{new}$  indică noua locație a particulei după aplicarea vitezei. În plus,  $c_1$  și  $c_2$  sunt factorii de învățare, iar  $r_1$  și  $r_2$  sunt numere aleatorii cu valori variind de la 0 la 1. Acestea sunt folosite pentru a genera diverse direcții de miscare ale particulelor astfel încât particulele să poată explora noi regiuni ale spatiului de solutii.

# 1) Schema de codificare a particulelor:

PSO-ul este aplicat direct pentru a rezolva problema deja descrisă MDVRP. În implementarea metodei, schema de codificare a particulelor propusă este concepută astfel încât să poată rezolva toate cele trei subprobleme a MDVRP-ului în același timp: "Ce depou ar trebui alocat fiecărui client în parte?", "Ce vehicul ar trebui să ajungă la clienții alocați depoului?" și "În ce ordine ar trebui să fie vizitați clienții alocați fiecărui vehicul în parte?". Având la dispoziție D depouri și n clienți la care trebuie să se ajungă, rezultă împărțirea clienților în D grupuri. În plus, dacă presupunem la fiecare depou sunt disponibile m vehicule, clienții deserviți de un anumit depou sunt împărțiți în m grupuri. Cu alte cuvinte, rezolvarea problemei implică împărțirea clienților în grupuri de dimensiune D\*m. Deci, MDVRP este rezolvată folosind o schemă extinsă de codificare a particulelor care ia în considerare D\*m-1 puncte de segmentare în plus față de cele n componente corespunzătoare celor n clienți. Rezultă că fiecare particulă codificată conține n+D\*m-1 componente, unde  $X=\{x_1,...,x_n,x_{n+1},...,x_{n+D*m-1}\}$ 

Particulele sunt decodificate folosind o metodă bazată pe cheii aleatorii. În schema de codificare, particula X corespunde unui set de valori cheie, mai exact  $KEY = \{c_1, c_2, ..., c_n, S_{11}, ..., S_{1m}, ..., S_{D1}, ..., S_{D(m-1)}\}$ , în care  $S_{ij}$  semnifică valoarea cheie a segmentării pentru al j-lea vehicul din depoul i. În continuare, X este sortat în ordine crescătoare, iar valorile corespunzătoare cheilor de decodare sunt rearanjate și ele odată cu sortarea. După sortarea lui X, punctele de segmentare definesc nu numai ce vehicul din fiecare depou vizitează ce clienții dar și succesiunea în care acești clienții sunt vizitații. De remarcat faptul că clienții de la sfârșitul secvenței sortate (adică clienții care se află după ultimul punct de segmentare) sunt pur și simplu alocați ultimului vehicul a ultimului depou.

i	1	3	 n-1	n	n+1	•••	$n+(D\times m-1)$
Key	$C_I$	$C_2$	 $C_{n-1}$	$C_n$	$S_{II}$		$S_{D(m-1)}$
X	$X_{I}$	$X_2$	 $X_{n-1}$	$X_n$	$X_{n+1}$		$X_{n+(D\times m-1)}$

Fig. 1: Codificare

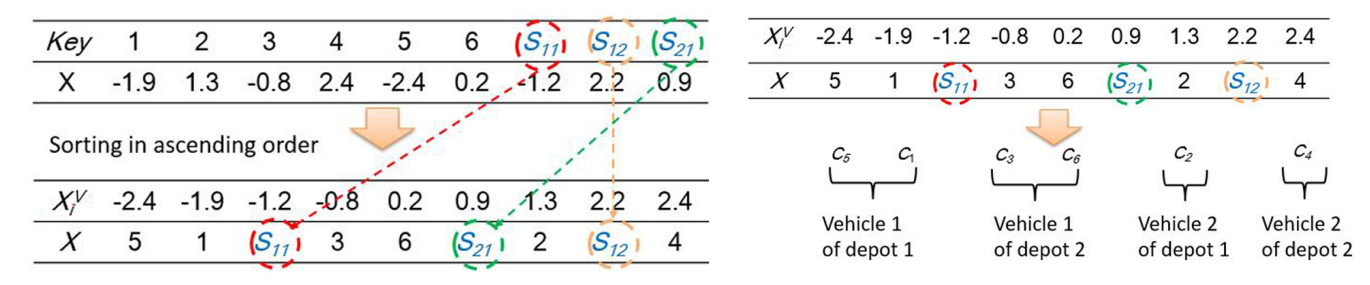


Fig. 2: Sortare

Fig. 3: Decodificare

#### 2) Metodă euristică de generare solutie inițială:

Soluțiile inițiale aleatorii determină ca algoritmul PSO să caute în spațiul soluțiilor într-o manieră destul de imprecisă și drept consecință algoritmul va converge foarte lent. Pe cealaltă parte, soluțiile inițiale bune limitează spațiul soluțiilor și permite ca metoda să conveargă mai rapid spre soluția optimă. Drept urmare, se propune o euristică ca mecanism de obținere a unei anumit număr de soluții inițiale fezabile pentru PSO. Așa cum este scris mai sus, MDVRP presupune rezolvarea a trei sub-probleme, și anume gruparea clienților la depouri, determinarea vehiculelor din fiecare depou care ar trebui să deservească anumiți clienți și stabilirea ordinii în care fiecare vehicul ar trebui să viziteze clienții alocați. Prin urmare, în căutarea soluțiilor inițiale adecvate pentru MDVRP, abordarea euristică începe prin gruparea clienților folosind o metodă similară cu cea folosită la metoda ACS, adică fiecărui client i se atribuie un depou în urma partiționării bazate pe gradul fiecărui nod de tip trip.

Pentru a realiza o grupare inițială mai diversă a clienților, clienții sunt repartizați la anumite depouri folosind fie o metodă greedy, fie la întâmplare. Alegerea uneia dintre cele 2 metode se realizează folosind valoarea probabilității de grupare gp. Mai exact, o valoare aleatorie este generată în intervalul [0,1], iar metoda greedy este aleasă dacă valoarea este mai mică decât probabilitatea gp, altfel alegându-se metoda aleatoare. Valoarea lui gp este 0,8, adică metoda greedy este aleasă cu o probabilitate de 80%, în timp ce cealaltă metodă este aleasă cu o probabilitate de 20%. După gruparea clienților la depouri, se folosește algoritmul "savings" [8] pentru fiecare depou pentru a găsi o atribuire fezabilă între clienți și vehiculele disponibile depoului rezultând astfel mai multe trasee care respectă constrângerile problemei MDVSP.

Dacă toate soluțiile inițiale sunt generate de metoda euristică propusă, algoritmul va converge rapid, dar există o șansă destul de mare să conveargă la o soluție locală suboptimală. În consecință, parametrul ratei euristice inițiale IHR prezent în ecuația de mai jos este utilizat pentru a determina cât de mult să fie folosită metoda euristică propusă la pasul de inițializare a PSO-ului. Variabila rand din ecuatie se referă la o valoare generată aleatoriu în intervalul [0,1].

$$soluție inițial = \left\{ \begin{array}{ll} generare \; euristic  : \; dac a \; rand < IHR \\ generare \; aleatoare \; : \; alt fel \end{array} \right.$$

# 3) Ajustare pondere inertie:

În mod ideal, spațiul soluțiilor la începutul metodei ar trebui să fie cât mai mare cu putință și mai restrâns pe măsură ce regiunea fezabilă a soluțiilor este găsită. Cu alte cuvinte, procesul de căutare ar trebui să evolueze treptat de la un comportament de căutare de tip explorare globală la un comportament de căutare de tip exploatare locală pe măsură ce numărul de iterații crește. Metoda implementată ia în considerare metoda curbei sigmoide prezentată în ecuația de mai jos, în care i este numărul iterației curente și  $i_{max}$  este numărul maxim de iterații.

$$w_i = \frac{w_{start} - w_{end}}{1 + e^{-u*(i - n*i_{max})}} + w_{end}$$
$$u = 10^{\log(i_{max}) - 2}$$

unde u este constanta care reglează precizia funcției sigmoid, iar n este constanta care setează partiția aceleiași funcții.

#### IV. EXPERIMENTE

# A. Descrierea instantelor

Pentru a testa metodele descrise în secțiunea anterioară, am ales să utilizăm instanțele MDVSP din [13]. Aceste conțin niște grafuri cu un număr de depouri  $m \in \{4,8\}$  și 500 de noduri de tip trip, fiind descrise de câte o matrice a costurilor. Această matrice este, de fapt, o matrice de adiacență, în care primele m noduri sunt depouri, arcele nefezabile sunt marcate cu -1, iar cele fezabile sunt marcate cu un număr pozitiv (care reprezintă costul arcului).

#### B. Parametrii algoritmilor utilizati

TABLE I: Parametri ACS

număr de iterații	50
număr de furnici	10
$ au_0$	1.0
α	1.0
β	2.0
ρ	0.1
φ	0.1
$q_0$	0.5
T	0.5

TABLE II: Parametri PSO

număr de iterații	1000
dimensiune roi particule	40
viteză minimă $(v_{min})$	-6
viteză maximă $(v_{max})$	6
pondere inerție început $(w_{start})$	0.6
pondere inerție sfârșit $(w_{end})$	0.2
primul factor accelerare $(c_1)$	2.05
al doilea factor accelerare $(c_2)$	2.05
rată euristică inițială (IHR)	0.3
probabilitate grupare (gp)	0.8
n	0.75

# C. Rezultate experimentale

Instanțe	Cea mai bună solutie cunoscută	30 rulări					
	Cea mar buna soruție cunoscuta	Minim	Maxim	Medie	Mediană	Deviație Standard	
m4n500s0.inp	1 289 114	1 882 071	1 929 922	1 907 471,87	1 908 397,0	10 084,15	
m4n500s1.inp	1 241 618	1 857 760	1 905 835	1 882 290,9	1 880 777,0	11 720,31	
m4n500s2.inp	1 283 811	1 825 920	1 869 951	1 849 791,6	1 849 369,5	10 054,28	
m4n500s3.inp	1 258 634	1 844 700	1 882 980	1 862 938,1	1 864 602,5	9 266,48	
m4n500s4.inp	1 317 077	1 891 821	1 932 061	1 917 115,43	1.918.072	9 997,04	
m8n500s0.inp	1 292 411	1 892 534	1 937 146	1 918 195,6	1 916 585,5	11 893,56	
m8n500s1.inp	1 276 919	1 879 640	1 918 470	1 899 107,27	1 898 847,5	10 728,11	
m8n500s2.inp	1 304 251	1 886 424	1 925 907	1 911 267,93	1 913 451,5	8 911,84	
m8n500s3.inp	1 277 838	1 911 357	1 967 082	1 943 364,53	1 941 777,5	13 352,08	
m8n500s4.inp	1 276 010	1 923 538	1 966 176	1 949 359,6	1 952 653,0	11 520,48	

TABLE III: Rezultate ACS pe graf partitionat

Instanțe	Cea mai bună solutie cunoscută	30 rulări					
	cea mai buna soluție cunoscuta	Minim	Maxim	Medie	Mediană	Deviație Standard	
m4n500s0.inp	1 289 114	1 752 124	1 808 325	1 792 976,2	1 795 360,0	12 091,06	
m4n500s1.inp	1 241 618	1 746 828	1 793 445	1 772 177,17	1 775 394,0	11 963,11	
m4n500s2.inp	1 283 811	1 717 714	1 764 185	1 744 799,5	1 747 290,5	10 973,61	
m4n500s3.inp	1 258 634	1 742 220	1 781 741	1 763 072,3	1 762 813,0	9 833,39	
m4n500s4.inp	1 317 077	1 782 496	1 841 550	1 818 209,6	1 822 598,5	14 196,33	
m8n500s0.inp	1 292 411	1 804 677	1 878 045	1 849 191,53	1 853 831,5	17 102,97	
m8n500s1.inp	1 276 919	1 806 521	1 855 264	1 830 007,6	1 828 883,0	12 248,77	
m8n500s2.inp	1 304 251	1 785 585	1 837 422	1 814 465,3	1 815 727,0	14 306,07	
m8n500s3.inp	1 277 838	1 828 106	1 871 483	1 855 759,23	1 856 913,5	10 716,53	
m8n500s4.inp	1 276 010	1 790 573	1 847 647	1 829 893,0	1 829 553,5	12 297,62	

TABLE IV: Rezultate ACS pe întregul graf

Instanțe	Cea mai bună solutie cunoscută	30 rulări					
	Cea mai buna soluție cunoscuta	Minim	Maxim	Medie	Mediană	Deviație Standard	
m4n500s0.inp	1 289 114	2 097 166	2 147 467	2 123 793,0	2 126 746	20 641,18	
m4n500s1.inp	1 241 618	1 998 201	2 091 014	2 031 471,66	2 005 200	42 199,63	
m4n500s2.inp	1 283 811	1 922 508	2 015 672	1 976 068,33	1 990 025	39 293,54	
m4n500s3.inp	1 258 634	2 032 131	2 056 820	2 048 497,66	2 056 542	11 573,54	
m4n500s4.inp	1 317 077	1 982 390	2 017 332	1 998 835,66	1 996 785	14 338,52	
m8n500s0.inp	1 292 411	2 056 152	2 077 731	2 067 106,0	2 067 435	8 812,66	
m8n500s1.inp	1 276 919	2 063 100	2 088 441	2 075 172,33	2 073 976	10 379,95	
m8n500s2.inp	1 304 251	2 044 180	2 083 195	2 062 448,33	2 059 970	16 023,92	
m8n500s3.inp	1 277 838	2 112 541	2 135 535	2 121 903,66	2 117 635	9 860,6	
m8n500s4.inp	1 276 010	2 064 807	2 094 427	2 084 087,33	2 093 028	13 645,21	

TABLE V: Rezultate PSO

# V. Concluzii

Așadar, după cum s-a putut vedea în rezultatele experimentale, metodele propuse nu reușesc să se apropie foarte mult de cea mai bună soluție cunoscută pentru instanțele utilizate. O posibilă cauză a acestui rezultat o constituie parametrii algoritmilor, care ar putea să nu fie corespunzători pentru MDVSP.

#### REFERENCES

- [1] Demirel, Tufan & Yılmaz, Şule. (2012). A New Solution Approach To Multi-Depot Vehicle Routing Problem With Ant Colony Optimization. Journal of multiple-valued logic and soft computing. 18. 421-439.
- [2] el Bouyahyiouy, Karim & Bellabdaoui, Adil. (2017). An ant colony optimization algorithm for solving the full truckload vehicle routing problem with profit. 142-147. 10.1109/LOGISTIQUA.2017.7962888.
- [3] Bertossi, Alan A., Paolo Carraresi, and Giorgio Gallo. "On some matching problems arising in vehicle scheduling models." Networks 17.3 (1987): 271-281. Bertossi, Alan A., Paolo Carraresi, and Giorgio Gallo. "On some matching problems arising in vehicle scheduling models." Networks 17.3 (1987): 271-281
- [4] Milovanovic, Nemanja. (2015). Solving the multiple-depot vehicle scheduling problem. 10.13140/RG.2.1.5057.8804.
- [5] Laurent, Benoît, and Jin-Kao Hao. "Iterated local search for the multiple depot vehicle scheduling problem." Computers & Industrial Engineering 57.1 (2009): 277-286.
- [6] Pepin, Ann-Sophie, et al. Comparison of heuristic approaches for the multiple depot vehicle scheduling problem. No. EI 2006-34. 2006.
- [7] Eberhart, Russell, and James Kennedy. "Particle swarm optimization." Proceedings of the IEEE international conference on neural networks. Vol. 4. 1995.
- [8] Lysgaard, Jens. "Clarke Wright's savings algorithm." Department of Management Science and Logistics, The Aarhus School of Business 44 (1997).
- [9] Bunte, Stefan & Kliewer, Natalia. (2010). An overview on vehicle scheduling models. Public Transport. 1. 299-317. 10.1007/s12469-010-0018-5.
- [10] Fischetti, Matteo & Lodi, Andrea & Toth, Paolo. (1970). A Branch-and-Cut Algorithm for the Multiple Depot Vehicle Scheduling Problem.
- $[11] \ www.scholarpedia.org/article/Ant\_colony\_optimization$
- [12] https://en.wikipedia.org/wiki/Ant\_colony\_optimization\_algorithms
- [13] https://personal.eur.nl/huisman/instances.htm